

بررسی میوفیبروبلاست‌های α SMA مثبت در استرومای کارسینوم سلول سنگفرشی، دیسپلازی و هیپرکراتوزیس دهان

دکتر صفورا سیفی*#، دکتر شهریار شفایی**، دکتر انسیه شفیق**، دکتر سید مهدی صحابی**، حمیدرضا قاسمی***
* استادیار آسیب شناسی دهان، فک و صورت، مرکز تحقیقات سلولی - مولکولی و دانشکده دندانپزشکی دانشگاه علوم پزشکی بابل
** استادیار گروه آسیب شناسی دانشکده پزشکی دانشگاه علوم پزشکی بابل

*** پزشک عمومی

*** دانشجوی دندانپزشکی

تاریخ ارائه مقاله: ۸۸/۴/۱۳ - تاریخ پذیرش: ۸۸/۷/۱۵

Evaluation the α SMA Positive Myofibroblasts in Oral Squamous Cell Carcinoma and Oral Epithelial Dysplasia and Hyperkeratosis

Safoura Seifi*#, Shahriar Shafahi**, Ensieh Shafiq**, SayedMahdi Sahabi***, HamidReza Ghasemi****

* Assistant Professor of Oral & Maxillofacial Pathology, Dental Research Center of Cellular and Molecular Research and Dental School, Babol University of Medical Sciences, Babol, Iran.

** Assistant Professor, Dept of Pathology, Medical School, Babol University of Medical Sciences, Babol, Iran.

*** General Practitioner

**** Dental Student

Received: 4 Jul 2009; Accepted: 7 October 2009

Introduction: Tumoral stroma has a main role in gross and aggressive behavior of different neoplasms. Myofibroblasts are key cells in stroma and in carcinogenesis process. The purpose of this study was immunohistochemistry evaluation of myofibroblasts in oral squamous cell carcinoma (SCC) compared with oral epithelial dysplasia and hyperkeratosis in carcinogenesis process.

Materials & Methods: In this descriptive cross sectional study 18 paraffinized blocks of Oral Squamous Cell Carcinoma (OSCC), 18 samples of oral epithelial dysplasia and, 18 samples of hyperkeratosis and five normalflora samples were immunostained for alpha SMA detection. Number of α SMA positive myofibroblasts in 100 cells (x40) was evaluated. Results were reported as the percent of immunostained cells. Statistical tests included Kruskal-Wallis, ANOVA and Chi-Square test.

Results: In OSCC, 8 cases had score3 (++) and 4 cases had score2 (+). In epithelial dysplasia, one case had Score3 (++) and 3 cases had score2 (+). Score2 (+) was showed in one case of hyperkeratosis. α SMA detection was observed just in vascular endothelium of oral normal mucosa. Significance difference was found in alpha SMA positive myofibroblsts among OSCC, epithelial dysplasia and hyperkeratosis ($P=0.000$).

Conclusion: Number (percent) of alpha SMA positive myofibroblasts increase in carcinogenesis process which could approve their role in tumoral invasive behavior.

Key words: Squamous cell carcinoma, dysplasia, hyperkeratosis, alpha SMA protein.

Corresponding Author: sf_seify@yahoo.com

J Mash Dent Sch 2010; 33(4): 321-30.

چکیده

مقدمه: استرومای تومورال نقش مهمی در رشد و پیشرفت نئوپلاسم‌های مختلف دارد. از اجزاء سلولی واکنش استروما میوفیبروبلاست‌ها هستند که در طی فرآیند کارسینوزنزیس در استروما نمایان می‌گردند. هدف مطالعه حاضر ارزیابی وجود میوفیبروبلاست‌ها در استرومای کارسینوم سلول سنگفرشی و مقایسه آن با دیسپلازی و هیپرکراتوزیس دهان به روش ایمونوهیتوشیمی بود.

مولف مسؤول، آدرس: بابل، دانشکده دندانپزشکی، گروه آسیب شناسی دهان، فک و صورت، تلفن: ۰۹۱۱۲۱۷۶۸۷۳

E-mail: sf_seify@yahoo.com

مواد و روش‌ها: در این مطالعه مقطعی-توصیفی به تعداد ۱۸ بلوک پارافینه کارسینوم سلول سنگفرشی، ۱۸ نمونه دیسپلازی اپی‌تلیالی و ۱۸ مورد هیپرکراتوزیس و ۵ نمونه مخاط نرمال دهان (به عنوان شاهد) جهت نشانگر α SMA با روش ایمونوهیستوشیمی رنگ آمیزی شدند. تعداد میوفیبروبلاست‌های α SMA مثبت با بزرگنمایی $\times 40$ برابر در ۱۰۰ سلول شمارش گردید و نتایج به صورت درصد سلول‌های رنگ پذیری شده مطرح و Score بندی شد. آزمون‌های آماری مورد استفاده کروسکال والیس، ANOVA و Chi-square test بود.

یافته‌ها: در کارسینوم سلول سنگفرشی دهان ۸ مورد Score 3 (++) و ۴ مورد Score 2 (+) داشتند و در دیسپلازی اپی‌تلیالی ۱ مورد Score 3 و ۳ مورد Score 2 (+) داشتند. در هیپرکراتوزیس (+) Score ۲ در ۱ نمونه مشاهده شد. رنگ پذیری با α SMA فقط در سلول‌های آندوتلیال دیواره عروق خونی مخاط نرمال دهان نمایان بود. اختلاف آماری معنی داری در بیان میوفیبر و بلاست‌های α SMA مثبت بین کارسینوم سلول سنگفرشی و دیسپلازی اپی‌تلیالی و هیپرکراتوزیس دیده شد ($P=0/000$).

نتیجه گیری: به نظر می‌رسد که افزایش تعداد (درصد) میوفیبروبلاست‌ها در طی فرآیند کارسینوژنیز صورت می‌گیرد که به نوعی تاییدکننده نقش آن‌ها در خاصیت تهاجمی تومورال است.

واژه‌های کلیدی: کارسینوم سلول سنگفرشی، دیسپلازی، هیپرکراتوزیس، پروتئین α SMA. مجله دانشکده دندانپزشکی مشهد / سال ۱۳۸۸ دوره ۳۳ / شماره ۴: ۳۰-۳۲۱.

مقدمه

در حفظ بافت‌های اپی‌تلیالی به استروما نیاز است. هنگامی که اپی‌تلیوم تغییر می‌یابد به دنبال آن استروما دچار تغییر می‌شود. در سرطان ایجاد تغییرات در استروما در تهاجم و متاستاز نقش دارد که علامت عمده بدخیمی می‌باشد. تغییرات استرومایی که در محل تهاجم ایجاد می‌شود شامل، تبدیل فیبروبلاست‌ها به میوفیبروبلاست و افزایش تعداد عروق خونی، کاهش بیان نشانگرهای اپی‌تلیالی مانند (کادهرین) و افزایش بیان نشانگرهای مزانشیمی مانند (ویمنتین) می‌باشد.^(۱) تمایز فیبروبلاست به میوفیبروبلاست توسط سایتوکاین‌های حاصل از سلول‌های سرطانی مانند (TGFB₁) یا فاکتور رشدی تغییر شکل‌دهنده B₁ انجام می‌شود.^(۱) تاکنون مطالعات اندکی در زمینه نقش عوامل استرومایی و اهمیت آنها در طی فرآیند کارسینوژنیز دهان صورت گرفته و همچنین بر طبق مطالعات گذشته نقش میوفیبروبلاست‌ها در تسهیل رفتار تهاجمی تومورال مطرح شده است.^(۲) از آنجا که بیان α SMA^۱ (اکتین اختصاصی عضله صاف نوع α) بیانگر حضور میوفیبروبلاست‌ها در استرومای بافت‌های مختلف

میوفیبروبلاست‌ها از اجزاء سلولی واکنش استروما هستند^(۱) و سلول‌های کلیدی جهت بازسازی بافت همبندی در حین ترمیم زخم و ایجاد بافت فیروزه می‌باشند.^(۲) میوفیبروبلاست‌ها، سلول‌هایی با خاصیت سلول‌های عضلانی صاف و فیبروبلاست‌ها هستند اگرچه دارای توانایی ترشح سیتوکاین‌ها، کموکاین‌ها، پروستوگلاندین‌ها، فاکتورهای رشدی و اجزاء ماتریکس می‌باشند، همچنین نقش‌های کلیدی در فرآیندهای التهاب، رشد، ترمیم و سرطان دارند.^(۳) ارگان‌های مختلفی دارای فیبروبلاست‌ها می‌باشد.^(۴) در انسان و حیوانات میوفیبروبلاست‌ها در بافت‌های نرمال مانند عقده لنفاوی، عروق خونی، زیر مخاط رحم، استرومای بیضه و شش^(۵) و در شرایط پاتولوژیک در ضایعات واکنشی، تومورهای خوش‌خیم، فیبروماتوزهایی با خاصیت تهاجم موضعی و سارکوماها یافت می‌شوند.^(۶) در بسیاری از شرایط پاتولوژیک مخاط دهان و استخوان‌های فکی میوفیبروبلاست‌ها مشاهده می‌شوند که شامل فیبرومای سلول ژانت^(۷)، گرانولومای سلول ژانت محیطی^(۸) و هیپرپلازی القاء شده باسیکلوپورین A می‌باشد.^(۹)

استاندارد Avidin biotine peroxidase انجام شد.

روش رنگ‌آمیزی: ابتدا بافت‌های برش داده شده را ۱۸ ساعت در ۳۷ درجه سانتی گراد نگهداری کردیم، سپس ۲۰ دقیقه در ۸۰ درجه سانتی گراد قرار داده و بعداً آنها را در گزلیل پارافینه کرده و بعد از آن از الکل‌ها با درجات مختلف عبور دادیم. به منظور بازیافت آنتی ژنی، ابتدا آنها را در محلول سیترات وارد اتوکلاو با دمای بین ۷۰ تا ۸۰ درجه سانتی گراد (به مدت ۳۰ دقیقه) کرده، بعد از خاموش کردن اتوکلاو نمونه‌ها را از آن خارج نمودیم. سپس آنها را به مدت (۵ دقیقه) وارد بافرسیترات کردیم و از بافر در آورده و بعد از خشک کردن، اطراف، زیر و دور بافت را با قلم خط کشی نمودیم. پس از آن به ترتیب در محلول‌های Dual Endogen Enzyme Block (جهت حذف اتصالات غیر اختصاصی) (به مدت ۵ تا ۱۰ دقیقه)، یک تا دو قطره آنتی بادی اولیه (clone 1A4, DAKO, A/S) با محلول غلیظ آنتی هیومن پلی کلونال خرگوش و با رقت $\frac{1}{100}$ به مدت ۳۰ دقیقه، استرپتاویدین، کروموژن DAB (جهت مشاهده محصولات واکنش)، همتوکسیلین مایرز (جهت رنگ‌آمیزی زمینه) قرار دادیم و در بین هر یک از مراحل فوق به مدت ۵ دقیقه آنها را در آب مقطر شست و شو دادیم سپس آبیگری را با الکل و گزلیل انجام داده و چسب انتلان چسباندیم. اسلایدهای رنگ‌آمیزی شده زیر میکروسکوب نوری (Olympus (BX51) با بزرگنمایی ۴۰ برابر تحت مطالعه قرار گرفت و جهت ارزیابی صحت مطالعه از کنترل مثبت کارسینوم مجرای پستان (α SMA مثبت) و کنترل منفی (سرم غیرایمینیزه موش با حذف آنتی‌بادی اولیه) در کنار مقاطع استفاده شد و رنگ پذیری سلول‌های آندوتلیال دیواره عروق خونی با α SMA به عنوان کنترل مثبت داخلی بود. همچنین ۵ نمونه مخاط نرمال دهان

می‌باشد، لذا برآن شدیم تا با روش رنگ‌آمیزی ایمونوهیستوشیمی با نشانگر α SMA وجود میوفیبروبلاست‌های α SMA مثبت را در طی فرآیند کارسینوژنیز کارسینوم سلول سنگفرشی دهان بررسی کرده و با هیپرکراتوزیس و دیسپلازی اپی‌تلیالی مقایسه کنیم.

مواد و روش‌ها

این مطالعه از نوع توصیفی-مقطعی می‌باشد. برای انجام مطالعه حاضر نمونه‌های بایگانی گروه آسیب شناسی فک و دهان و صورت دانشکده دندانپزشکی دانشگاه علوم پزشکی بابل در سال‌های ۸۷-۸۲ مورد بررسی قرار گرفتند و نمونه‌ها با تشخیص دیسپلازی، کارسینوم سلول سنگفرشی و هیپرکراتوزیس دهان در نظر گرفته شدند همچنین جهت تکمیل تعداد نمونه‌ها از بایگانی آزمایشگاه آسیب شناسی بیمارستان شهید بهشتی بابل در فاصله سال‌های ۸۷-۷۰ استفاده شد و جمعاً ۵۴ بلوک پارافینه انتخاب شد که شامل ۱۸ مورد از هر ضایعه بودند. در ۶ نمونه دیسپلازی خفیف، ۶ مورد متوسط و ۶ مورد شدید دیده شد. کارسینوم سلول سنگفرشی دارای درجه تمایز خوب تا متوسط (Grade 1,2) بود و درجه تمایز ضعیف (Grade 3) مشاهده نشد. همچنین بدلیل Incisional بودن برخی از بیوپسی‌های مربوط به کارسینوم سلول سنگفرشی تعیین دقیق درجه تمایز و مقایسه آنها امکان‌پذیر نبود. اطلاعات بالینی شامل سن، جنس، محل ضایعه از پرونده بیماران استخراج شد و سپس از هر بلوک پارافینه برش ۴ میکرونی تهیه و با روش همتوکسیلین-انوزین رنگ‌آمیزی شده و مجدداً مورد بررسی قرار گرفت و بلوک‌های مناسب از هر ضایعه انتخاب شده و از هر یک برش ۳ میکرونی تهیه گردید و مجدداً توسط پاتولوژیست دهان مورد بررسی قرار گرفت. ایمونوهیستوشیمی با روش

ضایعه) در جداول ۱ و ۲ خلاصه شده است. از نظر ایمنو هیستوشیمی، رنگ پذیری سیتوپلاسمی (قهوه ای) با نشانگر α SMA در میوفیروبلاست های استروما مثبت در نظر گرفته شد. در کارسینوم سلول سنگفرشی دهان ۸ مورد Score 3 (++) و ۴ مورد Score 2 (+) داشته و Score 1 (-) در ۶ نمونه مشاهده شد (تصویر ۱ و ۲ و ۳). در دیسپلازی اپی تلیالی ۱ مورد Score 3 (++) و ۳ مورد Score 2 (+) را نشان دادند اما ۱۴ مورد Score 1 (-) دیده شد (تصویر ۴). در هیپرکراتوزیس Score 2 (+) در ۱ نمونه مشاهده شد و ۱۷ نمونه Score 1 (-) داشتند (تصویر ۵) (جداول ۳ و ۴). در تمامی ضایعات رنگ پذیری قهوه ای با α SMA در سلول های آندوتلیال دیواره عروق خونی دیده شد. در نمونه های کارسینوم سلول سنگفرشی دهان در برخی موارد توزیع پراکنده و اکثراً غالب سلول های α SMA مثبت مشاهده شد. در لام هایی که به عنوان واکنش استرومایی افزایش ارتشاح سلول های آماسی را نشان دادند، بیان α SMA کاهش می یافت. تومورهایی با فقدان جزایر تومورال در برخی نواحی، فقدان بیان α SMA را نشان دادند. بیان α SMA بیشتر در بین و اطراف جزایر نئوپلاستیک مشاهده شد. ارتباط آماری معنی داری در بیان α SMA در هیپرکراتوزیس، دیسپلازی و کارسینوم سلول سنگفرشی دیده شد ($P < 0.001$).

جهت رنگ پذیری α SMA به عنوان شاهد در نظر گرفته شد. سیتوپلاسم میوفیروبلاست های رنگ گرفته با α SMA در کارسینوم سلول سنگفرشی در مجاورت جزایر و صفحات تومورال و در دیسپلازی و هیپرکراتوزیس در زیر مخاط قرار گرفته و به تعداد ۱۰۰ سلول در ۱۰HPF با بزرگنمایی ۴۰ برابر شمرده شده و میانگین آن به صورت درصد رنگ پذیری مطرح شد. سلول های آندوتلیال دیواره عروق خونی در صورت رنگ پذیری با α SMA در محاسبه منظور نشدند. هر مقطع دوبار شمرده شده و متعاقب آن، شمارش توسط پاتولوژیست دیگر کنترل گردید. Score بندی نتایج به صورت ذیل انجام شد.^(۱۲)

(Negative) (-) Score 1: در صورت عدم رنگ پذیری میوفیروبلاست ها با α SMA و یا در صورتی که کمتر از ۱٪ میوفیروبلاست ها با α SMA رنگ پذیر شده باشند.
 (scanty) (+) Score 2: در صورتی که بیشتر از ۱٪ و کمتر از ۵۰٪ میوفیروبلاست ها با α SMA رنگ پذیر شده باشند.
 (Abundant) (++) Score 3: در صورتی که بیشتر از ۵۰٪ میوفیروبلاست ها با α SMA رنگ پذیر شده باشند.
 نتایج مطالعه در مورد هر ضایعه در (SPSS ۱۷) ثبت شده و توسط آنالیزهای آماری ANOVA، Chi-Square test، کروسکال-والیس مورد تجزیه و تحلیل قرار گرفت و در همه آزمون ها سطح معنی دار ۰/۰۵ بود.

یافته ها

نتایج مربوط به اطلاعات بالینی (سن، جنس، محل

جدول ۱: توزیع فراوانی جنس و میانگین سن به تفکیک نمونه های هیپرکراتوزیس، دیسپلازی اپی تلیالی و کارسینوم سلول سنگفرشی دهان

P-value	کارسینوم سلول سنگفرشی	دیسپلازی اپی تلیالی	هیپرکراتوزی	سن (انحراف معیار \pm میانگین)
۰/۰۱	۴۵/۰۶ \pm ۱۶/۳	۴۷/۴۹ \pm ۱۱/۱	۳۶/۰۶ \pm ۱۰/۳	
۰/۰۹۹	۱۲ (%/۶۶/۷)	۱۱ (%/۶۱/۱)	۶ (%/۳۳/۳)	مذکر (درصد) تعداد
	۶ (%/۳۳/۳)	۷ (%/۳۸/۹)	۱۸ (%/۶۶/۷)	مونث (درصد) تعداد

جدول ۲: توزیع فراوانی محل ضایعه به تفکیک نمونه‌های هیپرکراتوزیس، دیسپلازی اپی‌تلیالی، کارسینوم سلول سنگفرشی دهان

هیپرکراتوزیس (درصد) تعداد	دیسپلازی اپی‌تلیالی (درصد) تعداد	کارسینوم سلول سنگفرشی دهان (درصد) تعداد	
۸ (/۴۴/۴)	۶ (/۳۳/۳)	۲ (/۱۱/۱)	مخاط باکال
۳ (/۱۶/۷)	۵ (/۲۷/۸)	۸ (/۴۴/۴)	زبان
۳ (/۱۶/۷)	۴ (/۲۲/۲)	۲ (/۱۱/۱)	ریج آلوتر
۴ (/۲۲/۲)	۰ (/۰)	۴ (/۲۲/۲)	لثه
۰ (/۰)	۱ (/۵/۶)	۱ (/۵/۶)	رترومولر
۰ (/۰)	۰ (/۰)	۱ (/۵/۶)	کف دهان
۰ (/۰)	۲ (/۱۱/۱)	۰ (/۰)	لب پایین
۱۸ (/۱۰۰/۰)	۱۸ (/۱۰۰/۰)	۱۸ (/۱۰۰/۰)	کل

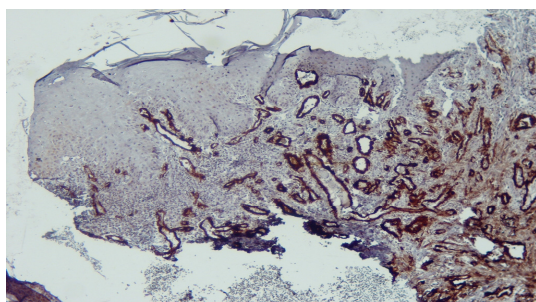
جدول ۳: نتایج رنگ‌آمیزی ایمونوهیستوشیمی با نشانگر α SMA در هیپرکراتوزیس، دیسپلازی اپی‌تلیالی و کارسینوم سلول سنگفرشی دهان

نوع نمونه	Score1(-)	Score2(+)	Score3(++)
هیپرکراتوزیس	۱۷ (/۹۴/۴)	۱ (/۵/۶)	۰ (/۰/۰)
دیسپلازی اپی‌تلیالی	۱۴ (/۷۷/۸)	۳ (/۱۶/۷)	۱ (/۵/۵)
کارسینوم سنگفرشی دهان	۶ (/۳۳/۳)	۴ (/۲۲/۲)	۸ (/۴۴/۵)

$P < 0.001$

جدول ۴: فراوانی درجه بندی میوفیروبلاست α SMA مثبت در گروه‌های تحت مطالعه

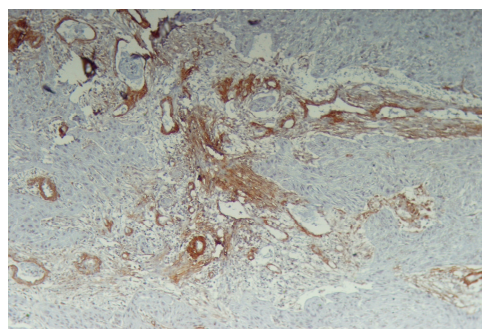
درجه بندی	هیپرکراتوزیس	دیسپلازی اپی‌تلیالی	کارسینوم سلول سنگفرشی	کل
تعداد	۱۷	۱۴	۶	۳۷
درصد	(/۹۴/۴)	(/۷۷/۸)	(/۳۳/۳)	(/۶۸/۵)
تعداد	۱	۳	۴	۸
درصد	(/۵/۶)	(/۱۶/۷)	(/۲۲/۲)	(/۱۴/۸)
تعداد	۰	۱	۸	۹
درصد	(/)	(/۵/۵)	(/۴۴/۵)	(/۱۶/۷)
تعداد	۱۸	۱۸	۱۸	۵۴
درصد	(/۱۰۰)	(/۱۰۰)	(/۱۰۰)	(/۱۰۰)



تصویر ۴: رنگ آمیزی ایمونوهیستوشیمی در دیسپلازی اپی تلیالی

(X ۱۰)، رنگ پذیری سیتوپلاسم میوفیبروبلاست ها

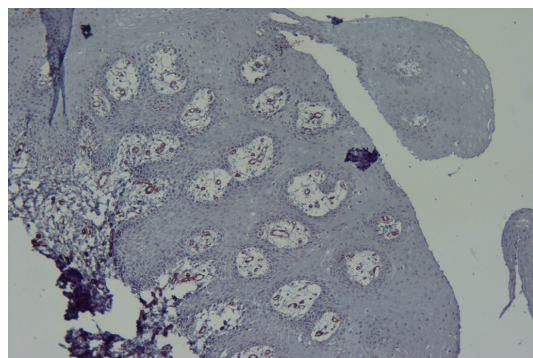
با نشانگر α SMA (+)(Score2)



تصویر ۱: رنگ آمیزی ایمونوهیستوشیمی در کارسینوم سلول

سنگفرشی (X ۱۰)، رنگ پذیری سیتوپلاسم میوفیبروبلاست ها

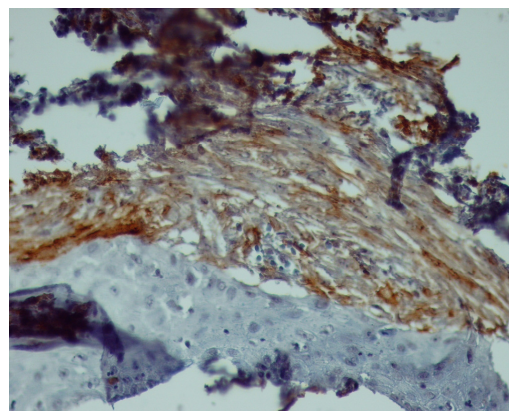
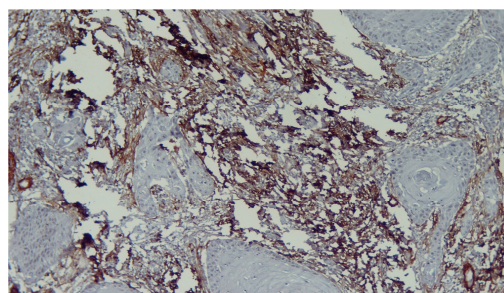
با نشانگر α SMA (+)(Score2)



تصویر ۵: رنگ آمیزی ایمونوهیستوشیمی در هیپرکراتوزیس

(X ۱۰)، رنگ پذیری سلول های آندوتلیال دیواره عروق خونی

با نشانگر α SMA (-)(Score1)



تصویر ۲ و ۳: رنگ آمیزی ایمونوهیستوشیمی در کارسینوم سلول

سنگفرشی (X ۱۰)(X40)، رنگ پذیری سیتوپلاسم میوفیبروبلاست ها

با نشانگر α SMA (++) (Score3)

بحث

نتایج مطالعه حاضر نشان داد که بیان α SMA در استرومای کارسینوم سلول سنگفرشی بیشتر از دیسپلازی اپی تلیالی و هیپرکراتوزیس دهان است که به نوعی تأیید کننده نقش میوفیبروبلاست های α SMA مثبت در رفتار تهاجمی کارسینوم سلول سنگفرشی دهان می باشد. در مطالعات مختلف وجود میوفیبروبلاست ها در استرومای

ایمونوهیستوشیمی تحقیق کردند و گزارش نمودند که در بافت نرمال پستان و تومورهای خوش خیم α SMA منفی ولی CD۳۴ مثبت بود و در نهایت مطرح کردند که استفاده از نشانگرهای فوق در تمایز تومورهای خوش خیم و بدخیم پستان در برخی از موارد مشکل مفید واقع می‌گردد.^(۱۹) فعالیت استرومای میزبان مرحله اصلی در رشد و تهاجم سرطان محسوب می‌گردد اما مکانیسم‌های اختصاصی فعالیت استروما توسط سلول‌های تومورال به خوبی شناخته نشده است. از اجزاء اصلی فعالیت استروما میوفیبروبلاست‌ها هستند.^(۱) در زمانی که اپی‌تلیوم دچار تغییرات نئوپلاستیک می‌گردد به دنبال آن تغییراتی در استروما ایجاد می‌شود که ناشی از فاکتورهای مترشحه حاصل از سلول‌های تومورال شامل PDGF (فاکتور رشدی حاصل شده از پلاکت‌ها) و $TGF\beta_1$ استرومایی بوده و موجب تبدیل فیبروبلاست به میوفیبروبلاست می‌گردد.^(۱۰) در مطالعه حاضر در استرومای بدون تومورال در کارسینوم سلول سنگفرشی دهان هیچ میوفیبروبلاست α SMA مثبتی یافت نشد و تجمع میوفیبروبلاست‌ها با آرایش فاسیکولر و رتیکولر در اطراف جزایر سلولی تومورال مشاهده شد که این مورد به نوعی نشان دهنده نقش میوفیبروبلاست‌های استروما در رفتار تهاجمی تومورال می‌باشد. همچنین بیان کننده آن است که در طی فرآیند کارسینوژنیزس تعداد میوفیبروبلاست‌های استروما افزایش می‌یابد. Adegboyega و همکاران با رنگ‌آمیزی ایمونوهیستوشیمی بر روی میوفیبروبلاست‌های α SMA و Vimentin مثبت در مخاط نرمال کولون، پولیپ هیپرپلاستیک و آدنوماتوز کولورکتال تحقیق کردند. در مخاط کولون فیبروبلاست‌های α SMA منفی و Vimentin مثبت مشاهده شدند اما در پولیپ هیپرپلاستیک و نئوپلاستیک فیبروبلاست‌های Vimentin و α SMA مثبت

سرطان‌های مهاجم پستان، حلق و حنجره گزارش شده است.^(۱۳-۱۵) در هیپرکراتوزیس بیان میوفیبروبلاست‌های α SMA مثبت تقریباً غیرقابل تشخیص بود و فقط در یک مورد رنگ پذیری مثبت با این نشانگر دیده شد.

استروما نقش عمده ای در پیشرفت سرطان دهان دارد. بعضی از تحقیقات رخدادهای استرومایی مانند رگسازی، فعالیت فیبروبلاست و تمایز آن به میوفیبروبلاست و وجود پروتئین‌های استرومایی اختصاصی مانند آنزیم‌های پروتئولیتیک، فیرونکتین، لامینین ۵ را به عنوان ویژگی‌های اصلی استرومای تومورال گزارش کردند اما امروزه در مورد اهمیت بیوفیزیک استرومای تومورال مطالعات اندکی صورت گرفته^(۱۶) و اکثر مطالعات بر روی نقش اپی‌تلیوم و عوامل موثر اپی‌تلیالی تحقیق کرده اند.^(۱۷) در سال ۲۰۰۸ Kellerman و همکاران وجود میوفیبروبلاست‌ها را با رنگ‌آمیزی ایمونوهیستوشیمی با پروتئین α SMA در ۸۳ مورد کارسینوم سلول سنگفرشی زبان و ۳۴ نمونه گروه کنترل و (۸ مورد مخاط نرمال دهان و ۱۶ نمونه دیسپلازی) بررسی کردند و گزارش نمودند که استرومای مخاط دهان و دیسپلازی اپی‌تلیالی، به جز در سلول‌های دیواره عروق خونی در هیچ سلولی α SMA یافت نشد اما تقریباً در ۶۰٪ موارد کارسینوم سلول سنگفرشی دهان (N=۴۰ نمونه) میزان زیادی از میوفیبروبلاست‌های α SMA مشاهده شد.^(۱۸) نتایج این مطالعه به نوعی در توافق با نتایج مطالعه ما می‌باشد. در کارسینوم سلول سنگفرشی دهان ۸ مورد (++) Score 3 و ۴ مورد (+) Score 2 داشته و (-) Score 1 در ۶ نمونه دیده شد و در ۶۷٪ موارد (n=12) رنگ پذیری مثبت با نشانگر α SMA دیده شد.

Cimpean و همکاران بر روی اهمیت بیان نشانگرهای α SMA و CD۳۴ در تومورهای خوش خیم و بدخیم پستان در ۱۱۲ بیمار خانم مبتلا به توده‌های پستانی با روش

شد اما رنگ پذیری منفی در دیسپلازی و ابی تلیوم نرمال مطرح گردید. آنها نتیجه گرفتند وجود میوفیروبلاست ها در استرومای سرطان دهان، نقش مهم آنها را در فرآیند کارسینوژنیز مطرح می کند^(۲۰) که نتایج مطالعه آنها به نوعی موید نتایج این تحقیق می باشد.

بعضی از مطالعات گزارش کردند که در رشد و پیشرفت تومورهای اپی تلیالی، استرومای احاطه کننده تومورال نقش مهمی دارد. استرومای سلولی تومورال شامل سلول های آماسی، آندوتلیالی، فیروبلاست ها و میوفیروبلاست ها و اجزاء واکنش ایمنی استروما بوده که همگی ممکن است در فرآیند چندمرحله ای کارسینوژنیز و فنوتیپ بدخیمی نقش داشته باشند.^(۱۲) نقش عوامل ایمونولوژیکی، التهابی و سلول های آندوتلیالی و تشکیل عروق خونی جدید شناخته شده اما تا به امروز تحقیقات کمی در زمینه میوفیروبلاست ها و نقش آنها در کارسینوم سلول سنگفرشی صورت گرفته لذا مطالعه حاضر به نوعی بیانگر نقش و اهمیت میوفیروبلاست ها در سرطان سلول سنگفرشی دهان می باشد. اختلاف آماری معنی داری در بیان میوفیروبلاست های α SMA مثبت از هیپرکراتوزیس تا دیسپلازی و کارسینوم سلول سنگفرشی مشاهده شد و شاید بتوان در صورت افزایش بیان میوفیروبلاست ها در بافت همبندی دیسپلازی اپی تلیالی جهت پیش گویی رفتار تهاجمی و افزایش احتمال تبدیل آن به کارسینوم سلول سنگفرشی و درمان تهاجمی تر آن استفاده کرد.

نتیجه گیری

از نتایج مطالعه حاضر به نظر می رسد که تعداد میوفیروبلاست های α SMA مثبت در طی فرآیند کارسینوژنیز دهان افزایش می یابد که به نوعی تاییدکننده نقش آنها در رفتار تهاجمی تومورال می باشد.

وجود داشتند و نتیجه گرفتند که در شرایط نئوپلاستیک فیروبلاست های بینابینی توسط میوفیروبلاست ها جایگزین شده و ارتباطی در میزان بیان α SMA و Stage تومورال مشاهده کردند.^(۱)

وجود میوفیروبلاست ها در استرومای تومورال نشان دهنده آن است که شاید فاکتورهای ترشح شده از سلول های تومورال از طریق غشاء پایه به بافت همبندی زیرین نفوذ کرده و در تبدیل فیروبلاست ها به میوفیروبلاست ها نقش داشته باشد.^(۱۷)

Verred و همکاران وجود میوفیروبلاست ها را در استرومای کیست ها و تومورهای ادنتوژنیک با روش رنگ آمیزی ایمونوهیستوشیمی تحقیق کردند و گزارش نمودند که بیان α SMA در استرومای آملوبلاستوما (Solid) و ادنتوژنیک کراتوسیست پاراکراتینزه بیشتر از کیست دنتی ژروسی و آملوبلاستوما تک کیستی و آملوبلاستیک فیروادنتوما بود و بیان کردند که میزان بیان میوفیروبلاست ها α SMA مثبت نشان دهنده رفتار تهاجمی ضایعات ادنتوژنیک بوده و استفاده از درمان مولکولی هدف به عنوان روش کمکی ممکن است در درمان ضایعات تهاجمی تر مفید واقع شود.^(۱۱) تبدیل فیروبلاست به میوفیروبلاست توسط سایتوکاین TGFB ترشح شده از سلول های سرطانی باعث پیشرفت سرطان از طریق اثرات پاراکرین می گردد که باعث تحریک رگ سازی شده ولی اثرات اتوکرین موجب موتاسیون ژن Ras و تولید سیگنال های پیش تهاجمی می گردد.^(۱۰) در سال ۲۰۰۹ اعتماد مقدم و همکاران بر روی ۴۰ نمونه کارسینوم سلول سنگفرشی، ۱۵ مورد دیسپلازی و ۱۵ نمونه ابی تلیوم نرمال دهان از نشانگرهای α SMA، ویمنتین، دسمین جهت تشخیص میوفیروبلاست های استروما استفاده کردند. رنگ پذیری با هر سه نشانگر فوق در سرطان دهان دیده

تشکر و قدردانی

تشکر به عمل می‌آید. از همکاران گروه آمار و بیومتریک دانشگاه جهت بررسی آماری مطالعه سپاسگزاریم. از خانم سحر گوران جهت انجام آزمایش ایمنونوهیستوشیمی متشکریم.

این مطالعه حاصل طرح تحقیقاتی مصوب در دانشگاه علوم پزشکی بابل است که در مرکز تحقیقات سلولی مولکولی دانشگاه علوم پزشکی بابل انجام گرفته و بدینوسیله از معاونت محترم پژوهشی دانشگاه تقدیر و

منابع

1. Adegboyega PA, Mifflin RC, Dimari JF, Saada JI, Powell DW. Immunohistochemical study of myofibroblasts in normal colonic mucosa, hyperplastic polyps and adenomatous colorectal polyps. Arch Pathol Lab Med 2002; 126(7): 829-36.
2. Desmouliere A, Guyot C, Gabbiani G. The stroma reaction myofibroblast: A key player in the control of tumor cell behavior. Int J Dev Biol 2004; 48 (5-6): 509-17.
3. Muchaneta-Kubara EC, el Nahas AM. Myofibroblast phenotypes expression in experimental renal scarring. Nephrol Dial Transplant 1997; 12(5): 904-15.
4. Varayoud J, Ramos JG, Joazerio PP, Montes GS, Munoz De Toro MM, Luque EH. Characterization of fibroblastic cell plasticity in the lamina propria of the rat uterine cervix at term. Biol Reprod 2001; 65(2): 375-83.
5. Tomasek JJ, Gabbiani G, Hinz B, Chaponnier C, Brown RA. Myofibroblasts and mechano-regulation of connective tissue remodelling. Nat Rev Mol Cell Biol 2002; 3(5): 349-63.
6. Fletcher CD. Myofibroblastic tumors: An update. Verh Dtsch Ges pathol 1998; 82: 75-82.
7. Wheathers DR, Campbell WG. Ultrastructure of the giant-cell fibroma of the oral mucosa. Oral Surg Oral Med Oral Pathol 1974; 38(4): 550-61.
8. Dayan D, Buchner A, David R. Myofibroblasts in peripheral giant cell granuloma. Light and electron microscopic study. Int J Oral Maxillofac Surg 1989; 18(5): 258-61.
9. Yamasaki A, Rose GG, Pinero GJ, Mahan CJ. Ultrastructure of fibroblasts in cyclosporine A induced gingival hyperplasia. J Oral Pathol 1987; 16(3): 129-34.
10. Vered M, Shohat I, Buchner A, Dayan D. Myofibroblasts in stroma of odontogenic cysts and tumors can contribute to variations in the biological behavior of lesions. Oral Oncol 2005; 41(10): 1028-33.
11. De Wever O, Mareel M. Role of tissue stroma in cancer cell invasion. J Pathol 2003; 200(4): 429-47.
12. Kellermann MG, Sobral LM, da Silva SD, Zecchin KG, Graner E, Lopes MA, et al. Myofibroblasts in the stroma of oral squamous cell carcinoma is associated with poor prognosis. Histopathology 2007; 51(6): 849-53.
13. Yazhou C, Wenlv S, Weidong Z, Licun W. Clinicopathological significance of stromal myofibroblasts in invasive ductal carcinoma of the breast. Tumour Biol 2004; 25(5-6): 290-5.
14. Kojc N, Zidar N, Vodopivec B, Gale N. Expression of CD34, alpha-smooth muscle actin and transforming growth factor beta in squamous intraepithelial lesions and squamous cell carcinoma of the larynx and hypopharynx. Hum Pathol 2005; 36(1): 16-21.
15. Kbarth PJ, Schenck ZU, Schvinberg T, Ramaswany A, Moll R. CD 34+ fibrocytes, alpha-smooth muscle antigen-positive myofibroblasts, and CD117 expression in the stroma of invasive squamous cell carcinomas of the oral cavity, pharynx, and larynx. Virchows Arch 2004; 444(3): 231-4.
16. Nielsen JD, Moeslund M, Wandall HH, Dabelsteen S. Influences of tumor stroma on the malignant phenotype. J Oral pathol Med 2008; 37 (7): 412-6.

17. Torres-Rendon A, Roy S, Craig GT, Speight PM. Expression of Mcm2, geminin and ki67 in normal oral mucosa, oral epithelial dysplasias and their corresponding squamous-cell carcinoma. Br J Cancer 2009; 100(7): 1128-34.
18. Kellermann MG, Sobral LM, da Silva SD, Zecchin KG, Graner E, Lopes MA, et al. Mutual paracrine effects of oral squamous cell carcinoma cells and normal oral fibroblasts: Induction of fibroblast to myofibroblasts transdifferentiation and modulation of tumor cell proliferation. Oral Oncol 2008; 44 (5): 509-17.
19. Cimpean AM, Raica M, Narita D. Diagnostic significance of the immunoeexpression of CD34 and smooth muscle cell actin in benign and malignant tumors of the breast. Rom J Morphol Embryol 2005; 46(2): 123-9.
20. Etemad-Moghadam S, Khalili M, Tiryary F, Alaeddini M. Evaluation of myofibroblasts in oral epithelial dysplasia and squamous cell carcinoma. J Oral Pathol Med 2009; 38(8): 639-43.